

第 3 章 图像的频率域增强

3.1 一维离散数列的傅里叶变换

在第 1 章中介绍了连续函数的傅里叶变换, 现在由连续函数的傅里叶变换推导出离散数列的傅里叶变换。已知一维连续函数 $f(x)$ 的傅里叶变换公式为:

$$F(u) = \int_{-\infty}^{+\infty} f(x)e^{-j2\pi ux} dx \quad (3-1)$$

它的逆变换公式为

$$f(x) = \int_{-\infty}^{+\infty} F(u)e^{j2\pi ux} du \quad (3-2)$$

连续信号 $f(x)$ 按坐标 x 的等间隔 Δx 取样后的 $f(n\Delta x)$ ($n=0, \pm 1, \dots$) 就成为离散数列。 $f(x)$ 按 x 的等间隔 Δx 取样可以用取样函数

$$s_{\Delta x}(x) = \sum_{n=0, \pm 1, \dots} \delta(x - n\Delta x) \quad (3-3)$$

来实现, 其中 $\delta(x - n\Delta x)$ 是 δ 函数。令

$$\tilde{f}(x) = f(x)s_{\Delta x}(x) = \sum_{n=0, \pm 1, \dots} f(x)\delta(x - n\Delta x) \quad (3-4)$$

虽然 $\tilde{f}(x)$ 仍是连续函数, 但它同离散数列 $\{f(n\Delta x), n=0, \pm 1, \dots\}$ 已十分接近, 仅相差一个积分步骤:

$$\int_{-\infty}^{\infty} \tilde{f}(x) dx = \sum_{n=0, \pm 1, \dots} \int_{-\infty}^{\infty} f(x)\delta(x - n\Delta x) dx = \sum_{n=0, \pm 1, \dots} f(n\Delta x) \quad (3-5)$$

可以把 $\tilde{f}(x)$ 看成是连续函数 $f(x)$ 按等间隔 Δx 取样后得到的离散数列 $\{f(n\Delta x), n=0, \pm 1, \dots\}$ 的模拟。由于 $\tilde{f}(x)$ 是连续函数, 故可以按式 (3-1) 来计算它的傅里叶变换:

$$\begin{aligned} \mathfrak{F}\{\tilde{f}(x)\} &= \int_{-\infty}^{\infty} \tilde{f}(x)e^{-j2\pi ux} dx = \sum_{n=0, \pm 1, \dots} \int_{-\infty}^{\infty} f(x)\delta(x - n\Delta x)e^{-j2\pi ux} dx \\ &= \sum_{n=0, \pm 1, \dots} f(n\Delta x)e^{-j2\pi un\Delta x} \equiv \tilde{F}(u) \end{aligned} \quad (3-6)$$

可以证明, $\tilde{F}(u)$ 是一个周期为 $u_s = 1/\Delta x$ 的周期函数:

$$\tilde{F}(u - ku_s) = \tilde{F}(u), \quad k = 0, \pm 1, \pm 2, \dots \quad (3-7)$$

$$\begin{aligned}\tilde{F}(u - ku_s) &= \sum_{n=0, \pm 1, \dots} f(n\Delta x) e^{-j2\pi(u - ku_s)n\Delta x} = \sum_{n=0, \pm 1, \dots} f(n\Delta x) e^{-j2\pi un\Delta x} e^{j2\pi kn} \\ &= \sum_{n=0, \pm 1, \dots} f(n\Delta x) e^{-j2\pi un\Delta x} = \tilde{F}(u) \quad (e^{j2\pi kn} = 1)\end{aligned}$$

不失一般性，考虑以下情况：①连续函数 $f(x)$ 是实函数。② $f(x)$ 的傅里叶变换 $F(u)$ 的频谱宽度为 B (全宽度为 $2B$)，即当 $|u| > B$ 时， $F(u) = 0$ 。根据取样定理，取样间隔 $\Delta x < 1/(2B)$ ，或取样频率 (在 x 的单位间隔内取样点的数目) $u_s = 1/\Delta x > 2B$ 。③对于非周期函数 $f(x)$ ，在 x 空间的一个宽度为 C 的区域内， $f(x) \neq 0$ ，在此区域外 $f(x) = 0$ 。将坐标原点 $x = 0$ 取在 $f(x) \neq 0$ 区域的最左边，即 $f(x) \neq 0$ 的区域为 $x = 0 \sim C$ 。由取样间隔 Δx ，可以算出取样点的总数为 $M = C/\Delta x$ 。对 Δx 做微小变动，如 Δx 减小一点，使 M 成为偶的整数。取样函数式 (3-3) 变为

$$s_{\Delta x}(x) = \sum_{n=0}^{M-1} \delta(x - n\Delta x) \quad (3-8)$$

④对于周期为 L 的周期函数 $f(x)$ ，取样点限于一个周期内，取样点的总数为 $M = L/\Delta x$ 。用同样方法使 M 成为偶的整数，取样函数也用式 (3-8) 表示。无论 $f(x)$ 是否是周期函数， $\tilde{f}(x)$ 均可表示为

$$\tilde{f}(x) = f(x)s_{\Delta x}(x) = \sum_{n=0}^{M-1} f(x)\delta(x - n\Delta x) \quad (3-9)$$

现在 $\tilde{f}(x)$ 的傅里叶变换式 (3-6) 表示为

$$\mathfrak{F}\{\tilde{f}(x)\} = \tilde{F}(u) = \sum_{n=0}^{M-1} f(n\Delta x) e^{-j2\pi un\Delta x} \quad (3-10)$$

已知 $f(x)$ 的傅里叶频谱 $F(u)$ 的全宽度为 $2B$ ，频率 u 的取值范围是 $u = -B \sim B$ 。由式 (3-7) 知，作为离散数列 $f(n\Delta x) (n = 0, 1, \dots, M-1)$ 模拟的连续函数

$$\tilde{f}(x) = \sum_{n=0}^{M-1} f(x)\delta(x - n\Delta x) \quad (3-11)$$

在傅里叶变换下得到的频谱 $\tilde{F}(u) = \tilde{F}(u - ku_s) (k = 0, \pm 1, \pm 2, \dots)$ 是周期为 $u_s = 1/\Delta x$ 的周期连续函数。在 $k = 0$ 的第一个周期中， $\tilde{F}(u)$ 的全宽度是周期 $u_s = 1/\Delta x$ ，频率 u 的取值范围是 $u = -u_s/2 \sim u_s/2$ 。由于 $u_s > 2B$ ， $\tilde{F}(u)$ 的频谱必定包含了 $f(x)$ 的全部频谱。然而， $\tilde{F}(u)$ 只是连续函数 $\tilde{f}(x)$ 的连续频谱，还不是离散数列 $f(n\Delta x) (n = 0, 1, \dots, M-1)$ 的离散频谱。当连续函数 $\tilde{f}(x)$ 变成坐标 x 空间中含有间隔为 Δx 的 M 个元素的离散数列 $\{f(n\Delta x), n = 0, 1, \dots, M-1\}$ 时， $\tilde{F}(u)$ 应该变成频率 u 空间中含有间隔为 $\Delta u = u_s/M$ 的 M 个元素的离散数列 $F(m\Delta u) (m = 0, 1, \dots, M-1)$ 。将 $u = m\Delta u = mu_s/M$ 代入式 (3-10)，得

$$F(m\Delta u) = \sum_{n=0}^{M-1} f(n\Delta x) e^{-j2\pi m\Delta u n\Delta x} = \sum_{n=0}^{M-1} f(n\Delta x) e^{-j2\pi m u_s n\Delta x/M}$$

再将 $u_s = 1/\Delta x$ 代入上式, 得

$$F(m\Delta u) = \sum_{n=0}^{M-1} f(n\Delta x) e^{-j2\pi mn/M} \quad (3-12)$$

这就是离散数列 $\{f(n\Delta x); n=0, 1, \dots, M-1\}$ 的傅里叶变换。可以证明, 式 (3-12) 的逆变换为

$$f(n\Delta x) = \frac{1}{M} \sum_{m=0}^{M-1} F(m\Delta u) e^{j2\pi mn/M}, \quad n=0, 1, \dots, M-1 \quad (3-13)$$

令 $f(n\Delta x) \equiv f(n)$, $F(m\Delta u) \equiv F(m)$, 离散数列 $\{f(n); n=0, 1, \dots, M-1\}$ 的傅里叶变换式 (3-12) 与它的逆变换式 (3-13) 简化为

$$F(m) = \sum_{n=0}^{M-1} f(n) e^{-j2\pi mn/M}, \quad m=0, 1, \dots, M-1 \quad (3-14)$$

$$f(n) = \frac{1}{M} \sum_{m=0}^{M-1} F(m) e^{j2\pi mn/M}, \quad n=0, 1, \dots, M-1 \quad (3-15)$$

在前面推导出离散数列 $\{f(n); n=0, 1, \dots, M-1\}$ 的傅里叶变换式 (3-12) 或式 (3-14) 时, 还不能肯定这个公式一定正确。因为这里有主观推断: 认为当 $\tilde{f}(x)$ 变成 x 空间间隔为 Δx 的 M 个 $f(n)$ ($n=0, 1, \dots, M-1$) 时, $\tilde{F}(u)$ 应变成 u 空间间隔为 $\Delta u = u_s/M = 1/(\Delta x M)$ 的 M 个 $F(m)$ ($m=0, 1, \dots, M-1$)。只有在 $\{f(n); n=0, 1, \dots, M-1\}$ 的傅里叶变换 $\{F(m); m=0, 1, \dots, M-1\}$ 是正确的条件下, 才能由它组合成 $\{f(n); n=0, 1, \dots, M-1\}$ 。考虑到傅里叶变换 $F(m)$ 的总体大小并不重要, 重要的是不同 m 的 $F(m)$ 相对大小。因此, 式 (3-15) 中的常数因子 $1/M$ 可以转移到式 (3-14) 中,

$$F(m) = \frac{1}{M} \sum_{n=0}^{M-1} f(n) e^{-j2\pi mn/M}, \quad m=0, 1, \dots, M-1 \quad (3-16)$$

$$f(n) = \sum_{m=0}^{M-1} F(m) e^{j2\pi mn/M}, \quad n=0, 1, \dots, M-1 \quad (3-17)$$

也可以在正反 (逆) 傅里叶变换公式中都放上同一个因子 $1/\sqrt{M}$,

$$F(m) = \frac{1}{\sqrt{M}} \sum_{n=0}^{M-1} f(n) e^{-j2\pi mn/M}, \quad m=0, 1, \dots, M-1 \quad (3-18)$$

$$f(n) = \frac{1}{\sqrt{M}} \sum_{m=0}^{M-1} F(m) e^{j2\pi mn/M}, \quad n=0, 1, \dots, M-1 \quad (3-19)$$

显然, 离散数列的傅里叶变换总是存在的。这里要强调的是, $F(m)$ 是 $F(m\Delta u)$ 的简化式, 它表示频率为 $u = m\Delta u = m/M\Delta x$ 的相对强度。由于 $m=0, 1, \dots, M-1$, 可以

得到 M 个不同频率的相对强度, 这 M 个频率叫作测量频率或分析频率。

一维离散数列傅里叶变换有以下一些性质:

(1) 设 $f_1(n)$ 与 $f_2(n)$ 的傅里叶变换分别是 $F_1(m)$ 与 $F_2(m)$, 则 $af_1(n)+bf_2(n)$ 的傅里叶变换是 $aF_1(m)+bF_2(m)$, 其中 a 与 b 是常数。这是傅里叶变换的线性特性。这个性质是显然的。

(2) 离散数列傅里叶变换 $F(m)$ 是周期为 M 的周期函数:

$$F(m - kM) = F(m), \quad k = 0, \pm 1, \pm 2, \dots \quad (3-20)$$

这是因为

$$F(m - kM) = \sum_{n=0}^{M-1} f(n)e^{-j2\pi(m-kM)n/M} = \sum_{n=0}^{M-1} f(n)e^{-j2\pi mn/M} e^{j2\pi kn}$$

其中 $e^{j2\pi kn} = 1$, 故有 $F(m - kM) = F(m)$ 。类似地, 由傅里叶逆变换式 (3-15) 确定的 $f(n)$ 也是周期为 M 的周期函数:

$$f(n - kM) = f(n), \quad k = 0, \pm 1, \pm 2, \dots \quad (3-21)$$

这很容易证明:

$$\begin{aligned} f(n - kM) &= \frac{1}{M} \sum_{m=0}^{M-1} F(m)e^{j2\pi m(n-kM)/M} = \frac{1}{M} \sum_{m=0}^{M-1} F(m)e^{j2\pi mn/M} e^{-j2\pi mk} \\ &= \frac{1}{M} \sum_{m=0}^{M-1} F(m)e^{j2\pi mn/M} = f(n), \quad (e^{-j2\pi mk} = 1) \end{aligned}$$

如果 $f(n)$ 原来就是周期离散数列, 这个结果是很自然的。如果 $f(n)$ 原来是非周期离散数列, 这个结果表示, 为了符合离散数列傅里叶变换的性质, $f(n)$ 应该扩展为周期离散数列 $f(n - kM) = f(n)$, $k = 0, \pm 1, \pm 2, \dots$ 。

(3) 对于周期离散数列 $f(n) = f(n - kM)$, $k = 0, \pm 1, \dots$, 可以证明, 用任一点作为起始点来计算一个完整周期的离散数列的傅里叶变换, 结果都是一样的。式 (3-14) 是以 $n = 0$ 作为起始点来计算一个完整周期离散数列的傅里叶变换的。令 l 是小于 M 的正整数, 计算以 $n = -l$ 为起始点的一个完整周期的离散数列 $f(n)$ 的傅里叶变换,

$$F'(m) = \sum_{n=-l}^{M-1-l} f(n)e^{-j2\pi mn/M} = \sum_{n=-l}^{-1} f(n)e^{-j2\pi mn/M} + \sum_{n=0}^{M-1-l} f(n)e^{-j2\pi mn/M} \quad (3-22)$$

式中,

$$\begin{aligned} \sum_{n=-l}^{-1} f(n)e^{-j2\pi mn/M} &= f(-l)e^{-j2\pi m(-l)/M} + f(-l+1)e^{-j2\pi m(-l+1)/M} + \dots \\ &\quad + f(-1)e^{-j2\pi m(-1)/M} \end{aligned} \quad (3-23)$$

利用 $f(n)$ 的周期性 $f(n) = f(n + M)$, 以及 $1 = e^{-j2\pi m} = e^{-j2\pi mM/M}$, 将上式每一项中的 $f(n)$ 变为 $f(n + M)$, $e^{-j2\pi mn/M}$ 乘以 $1 = e^{-j2\pi mM/M}$, 得

$$\begin{aligned} \sum_{n=-l}^{-1} f(n)e^{-j2\pi mn/M} &= f(M-l)e^{-j2\pi m(M-l)/M} + f(M-l+1)e^{-j2\pi m(M-l+1)/M} + \dots \\ &+ f(M-1)e^{-j2\pi m(M-1)/M} = \sum_{n=M-l}^{M-1} f(n)e^{-j2\pi mn/M} \end{aligned} \quad (3-24)$$

将式(3-24)代入式(3-22), 得

$$\begin{aligned} F'(m) &= \sum_{n=-l}^{M-l-1} f(n)e^{-j2\pi mn/M} = \sum_{n=0}^{M-l-1} f(n)e^{-j2\pi mn/M} + \sum_{n=M-l}^{M-1} f(n)e^{-j2\pi mn/M} \\ &= \sum_{n=0}^{M-1} f(n)e^{-j2\pi mn/M} = F(m) \end{aligned}$$

对于周期的离散数列的傅里叶逆变换式(3-15)也一样, 可以用 m 的任一值作为起点来计算一个周期的 $f(n)$ 值。

(4) $F(m)$ 的复共轭 $F^*(m) = F(-m)$, $|F(m)| = |F(-m)|$ 。这是因为 $f(n)$ 是实数,

$$F^*(m) = \sum_{n=0}^{M-1} f(n)e^{j2\pi mn/M} = \sum_{n=0}^{M-1} f(n)e^{-j2\pi(-m)n/M} = F(-m) \quad (3-25)$$

对上式再进行一次复共轭, 得 $F(m) = F^*(-m)$, 故有

$$|F(m)| = \sqrt{F^*(m)F(m)} = \sqrt{F(-m)F^*(-m)} = |F(-m)| \quad (3-26)$$

(5) 利用以上两个性质, $F^*(m) = F(-m) = F(M-m)$, 对上式再进行一次复共轭, 得 $F(m) = F^*(M-m)$ 。于是

$$|F(m)| = \sqrt{F^*(m)F(m)} = \sqrt{F(M-m)F^*(M-m)} = |F(M-m)| \quad (3-27)$$

这一性质表示, 式(3-14)的 M 个 $F(m)$ 中有大约一半是重复的。只需计算 $m \leq M/2$ 的 $F(m)$ 。其实 $m > M/2$ 的 $F(m)$ 是没有意义的, 因为与 $m > M/2$ 相应的频率 $u_m = mu_s/M > B$, 超出了 $f(x)$ 的频谱范围, 是 $f(x)$ 因取样而产生的假频, 是 $f(x)$ 频谱 $F(u)$ 中的负频($u = -B \sim 0$)向正频方向移动一个周期 $M\Delta x$ 得到的假频。

(6) 设 $f(n)$ 的傅里叶变换为 $F(m)$, 则有位移 n' 的 $f(n-n')$ 的傅里叶变换为 $F(m)e^{-j2\pi mn'/M}$, 有位移 m' 的 $F(m-m')$ 的傅里叶逆变换为 $f(n)e^{j2\pi m'n'/M}$:

$$\begin{aligned} \mathfrak{F}\{f(n-n')\} &= \sum_{n=0}^{M-1} f(n-n')e^{-j2\pi mn/M} = \sum_{t=-n'}^{M-1-n'} f(t)e^{-j2\pi m(t+n')/M} \\ &= \sum_{t=0}^{M-1} f(t)e^{-j2\pi mt/M} e^{-j2\pi mn'/M} = F(m)e^{-j2\pi mn'/M} \end{aligned} \quad (3-28)$$

$$\begin{aligned} \mathfrak{F}^{-1}(F(m-m')) &= \frac{1}{M} \sum_{m=0}^{M-1} F(m-m')e^{j2\pi mn/M} = \frac{1}{M} \sum_{t=-m'}^{M-1-m'} F(t)e^{j2\pi(t+m')n/M} \\ &= \frac{1}{M} \sum_{t=0}^{M-1} F(t)e^{j2\pi tn/M} e^{j2\pi m'n'/M} = f(n)e^{j2\pi m'n'/M} \end{aligned} \quad (3-29)$$

在以上证明中，用到了性质（3）。

(7) 设 $f(n)$ 与 $g(n)$ 的傅里叶变换分别为 $F(m)$ 与 $G(m)$ ，则有以下两个性质：

(a) $f(n)$ 与 $g(n)$ 卷积的傅里叶变换等于 $F(m)$ 与 $G(m)$ 的乘积：

$$\mathfrak{F}\{f(n)*g(n)\} = F(m)G(m) \quad (3-30)$$

(b) $f(n)$ 与 $g(n)$ 乘积的傅里叶变换等于 $F(m)$ 与 $G(m)$ 的卷积：

$$\mathfrak{F}\{f(n)g(n)\} = F(m)*G(m) \quad (3-31)$$

[示例 3-1] 对连续信号函数 $f(x) = 2\sin(2\pi f_1 x) + \sin(2\pi f_2 x + \pi/4)$ 进行 10 点取样，再进行离散数列的傅里叶变换，其中 x 是时间，单位为秒， $f_1 = 1\text{kHz}$ ， $f_2 = 2\text{kHz}$ 。

$f(x)$ 是周期为 $T = 1/f_1 = 10^{-3}$ 秒的周期函数。在一个周期内进行 10 点取样，取样间隔 $\Delta x = T/10 = 10^{-4}$ 秒，取样频率 $u_s = 1/\Delta x = 10^4$ 点/秒。令 $x = n\Delta x, n = 0, 1, \dots, 9$ 。

$$f(n) \equiv f(n\Delta x) = 2\sin(2\pi f_1 n\Delta x) + \sin(2\pi f_2 n\Delta x + \pi/4)$$

将 f_1, f_2 与 Δx 的值代入上式，得

$$f(n) = 2\sin(0.2\pi n) + \sin(0.4\pi n + 0.25\pi)$$

由上式算出，

$$f(0) = 0.7071, f(1) = 2.0666, f(2) = 1.7458, f(3) = 0.9144, f(4) = 0.7216,$$

$$f(5) = 0.7071, f(6) = -0.2846, f(7) = -2.0586, f(8) = -2.8898, f(9) = -1.6296$$

$f(n)$ 的傅里叶变换公式为

$$\begin{aligned} F(m) &= \sum_{n=0}^9 f(n)e^{-j2\pi mn/10} = \sum_{n=0}^9 f(n)e^{-j0.2\pi mn} \\ &= \sum_{n=0}^9 f(n)[\cos(0.2\pi mn) - j\sin(0.2\pi mn)] \end{aligned}$$

其中， $m = 0, 1, \dots, 9$ 。我们只需要计算 $m \leq 5$ 的 $F(m)$ 。 $F(m)$ 中的 m 表示分析频率 $u_m = mu_s/M = m\text{kHz}$ 。将 $f(n)$ 的值代入上式算出，除 $F(1) = 10e^{-j\pi/2}$ 与 $F(2) = 5e^{-j\pi/4}$ 外，其他 $F(m) = 0$ 。 $f(n)$ 的傅里叶频谱包含 $u_1 = 1\text{kHz}$ 与 $u_2 = 2\text{kHz}$ 两个成分，它们的强度之比为 $|F(1)|/|F(2)| = 2$ 。这同 $f(x)$ 中含有频率为 $f_1 = 1\text{kHz}$ 与 $f_2 = 2\text{kHz}$ 的两个正弦函数，并且它们的振幅之比为 2 是相符的。

[示例 3-2] 令取样频率 $u_s = 32000$ 点/秒。对频率为 $f_1 = 8\text{kHz}$ 与 $f_2 = 8.5\text{kHz}$ 的两个正弦函数 $f_1(x) = \sin(2\pi f_1 x)$ 与 $f_2(x) = \sin(2\pi f_2 x)$ 分别进行 32 点取样，再进行离散数列的傅里叶变换。

取样间隔 $\Delta x = 1/u_s = 3.125 \times 10^{-5}$ 秒。令 $x = n\Delta x, n = 0, 1, \dots, 31$ 。

$$f_1(n) = \sin(2\pi f_1 n\Delta x) = \sin(n\pi/2)$$

$$\begin{aligned}
 F(m) &= \sum_{n=0}^{31} f_1(n) e^{-j2\pi mn/32} = \sum_{n=0}^{31} f_1(n) e^{-j\pi mn/16} \\
 &= \sum_{n=0}^{31} \sin(n\pi/2) [\cos(\pi mn/16) - j\sin(\pi mn/16)] \\
 &\quad m = 0, 1, 2, \dots, 31
 \end{aligned}$$

只要计算 $m = 0, 1, \dots, 16$ 的 $F(m)$ 。 $F(m)$ 中的 m 表示分析频率

$$u_m = mu_s/M = m\text{kHz}, \quad m = 0, 1, 2, \dots, 31$$

由上述 $F(m)$ 的计算公式算出, 除 $F(8) = -j16$ 外, 其他 $F(m) = 0$ 。这表示 $f_1(n)$ 的傅里叶频谱只包含频率 $u_8 = 8\text{kHz}$ 一个成分。这同 $f_1(x) = \sin(2\pi f_1 x)$ 是相符的。再计算 $f_2(x)$ 的傅里叶变换:

$$\begin{aligned}
 F(m) &= \sum_{n=0}^{31} f_2(n) e^{-j2\pi mn/32} = \sum_{n=0}^{31} f_2(n) e^{-j\pi mn/16} \\
 &= \sum_{n=0}^{31} \sin(0.53125\pi n) [\cos(\pi mn/16) - j\sin(\pi mn/16)]
 \end{aligned}$$

其中 $m = 0, 1, \dots, 16$ 。分析频率 $u_m = mu_s/M = m\text{kHz}$ 。由上式算出的 $F(m)$ 列于表 3-1。

表 3-1 由示例 3-2 的 $f_2(x)$ 算出的 $F(m)$, 表中 $F(m)$ 的单位是 kHz

m	0	1	2	3	4	5	6	7	8
$F(m)$	0.91	0.92	0.97	1.07	1.24	1.52	2.07	3.40	10.15
m	9	10	11	12	13	14	15	16	
$F(m)$	-10.24	-3.50	2.17	1.63	-1.36	1.21	1.13	-1.10	

由示例 3-1 与示例 3-2 可以看出, 当输入信号频率 f 等于分析频率 $u_m = mu_s/M$ 中的某一个 u_{m_0} 时, 它使 $F(m_0) \neq 0$, 其他 $F(m) = 0$; 当输入信号频率 f 不等于分析频率 $u_m = mu_s/M$ 中的任一个时, 它使所有 $F(m) \neq 0$, 但 $F(m)$ 的取值是有规律的, u_m 同 f 最近的频谱 $|F(m)|$ 最大, 随 u_m 同 f 偏离加大, $|F(m)|$ 很快变小, 当 u_m 同 f 的偏离较大时, $|F(m)|$ 可以忽略不计。可以通过 $|F(m)|$ 相对 m 的分布图, 由分布曲线的峰值来测定频率 f 。图 3-1 给出示例 3-2 的 $|F(m)| \sim m$ 分布图, 由 $|F(m)|$ 分布曲线的峰值测定 $f_2(x)$ 的频率是 $f_2 = 8.5\text{kHz}$ 。这正是应该有的结果。由 $|F(m)|$ 的分布曲线的峰值来测定频率 f 是近似的。因输入信号频率 f 不等于分析频率 u_m 而使所有 $F(m) \neq 0$ 的现象, 叫作泄漏。泄漏是离散数列的傅里叶变换特有的性质, 它使频率的测量是近似的。

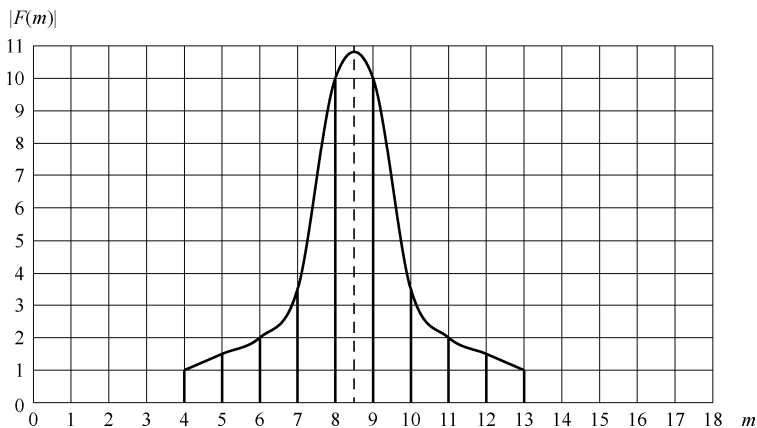


图 3-1 $|F(m)| \sim m$ 分布图

3.2 二维离散数列的傅里叶变换

在 1.2 节中给出了二维连续函数 $f(x,y)$ 的傅里叶变换公式为

$$F(u,v) = \int_{-\infty}^{+\infty} \int_{-\infty}^{+\infty} f(x,y) e^{-j2\pi(ux+vy)} dx dy \quad (3-32)$$

它的逆变换公式为

$$f(x,y) = \int_{-\infty}^{+\infty} \int_{-\infty}^{+\infty} F(u,v) e^{j2\pi(ux+vy)} du dv \quad (3-33)$$

式中， u 是 x 方向的频率，表示在 x 方向单位间隔内周期函数 $e^{j2\pi ux}$ 变化的周期数； v 是 y 方向的频率，表示在 y 方向单位间隔内周期函数 $e^{j2\pi vy}$ 变化的周期数。一幅矩形图像信号 $f(x,y)$ 通过 x 与 y 两个方向的等间隔 $\Delta x = \Delta y$ 取样后，成为二维离散数列 $\{f(n\Delta x, l\Delta y); n = 0, 1, \dots, M-1, l = 0, 1, \dots, N-1\}$ ，其中 M 是图像在 x 方向一行像素的个数， N 是图像在 y 方向一行像素的个数。上述图像的取样可以通过如下取样函数来实现：

$$S_{\Delta x \Delta y}(x,y) = \sum_{n=0}^{M-1} \sum_{l=0}^{N-1} \delta(x - n\Delta x, y - l\Delta y) \quad (3-34)$$

其中 $\delta(x - n\Delta x, y - l\Delta y) = \delta(x - n\Delta x)\delta(y - l\Delta y)$ ，令

$$\tilde{f}(x,y) = f(x,y)S_{\Delta x \Delta y}(x,y) = \sum_{n=0}^{M-1} \sum_{l=0}^{N-1} f(x,y)\delta(x - n\Delta x, y - l\Delta y) \quad (3-35)$$

$\tilde{f}(x,y)$ 是十分接近离散数列 $\{f(n\Delta x, l\Delta y); n = 0, 1, \dots, M-1, l = 0, 1, \dots, N-1\}$ 的连续函数，二者只相差一个积分步骤：

$$\iint_{\infty} \tilde{f}(x, y) dx dy = \sum_{n=0}^{M-1} \sum_{l=0}^{N-1} \iint_{\infty} f(x, y) \delta(x - n\Delta x, y - l\Delta y) dx dy = \sum_{n=0}^{M-1} \sum_{l=0}^{N-1} f(n\Delta x, l\Delta y)$$

$\tilde{f}(x, y)$ 作为连续函数, 可以由式 (3-32) 求出它的傅里叶变换

$$\begin{aligned} \tilde{F}(u, v) &= \sum_{n=0}^{M-1} \sum_{l=0}^{N-1} \int_{-\infty}^{+\infty} \int_{-\infty}^{+\infty} f(x, y) \delta(x - n\Delta x, y - l\Delta y) e^{-j2\pi(ux+vy)} dx dy \\ &= \sum_{n=0}^{M-1} \sum_{l=0}^{N-1} f(n\Delta x, l\Delta y) e^{-j2\pi(un\Delta x+vl\Delta y)} \end{aligned} \quad (3-36)$$

$\tilde{F}(u, v)$ 是频率 (u, v) 空间的连续函数。当坐标空间的连续函数 $\tilde{f}(x, y)$ 变成总个数为 MN 的离散数列 $\{f(n\Delta x, l\Delta y); n=0, 1, \dots, M-1, l=0, 1, \dots, N-1\}$ 时, $\tilde{F}(u, v)$ 应该变成频率空间总个数也是 MN 的离散数列 $\{F(m\Delta u, k\Delta v); m=0, 1, \dots, M-1, k=0, 1, \dots, N-1\}$, 其中

$$\Delta u = \frac{1}{M\Delta x}, \quad \Delta v = \frac{1}{N\Delta y} \quad (3-37)$$

在式 (3-36) 中, 令 $u = m\Delta u = m/M\Delta x, v = k\Delta v = k/N\Delta y$, 得二维离散数列 $\{f(n\Delta x, l\Delta y)\}$ 的傅里叶变换

$$\begin{aligned} F(m\Delta u, k\Delta v) &= \sum_{n=0}^{M-1} \sum_{l=0}^{N-1} f(n\Delta x, l\Delta y) e^{-j2\pi(mn/M+kl/N)} \\ m &= 0, 1, \dots, M-1; \quad k = 0, 1, \dots, N-1 \end{aligned} \quad (3-38)$$

可以证明式 (3-38) 的傅里叶逆变换为

$$\begin{aligned} f(n\Delta x, l\Delta y) &= \frac{1}{MN} \sum_{m=0}^{M-1} \sum_{k=0}^{N-1} F(m\Delta u, k\Delta v) e^{j2\pi(mn/M+kl/N)} \\ n &= 0, 1, \dots, M-1; \quad l = 0, 1, \dots, N-1 \end{aligned} \quad (3-39)$$

令 $f(n\Delta x, l\Delta y) \equiv f(n, l), F(m\Delta u, k\Delta v) \equiv F(m, k)$, 以上两式简化为

$$F(m, k) = \sum_{n=0}^{M-1} \sum_{l=0}^{N-1} f(n, l) e^{-j2\pi(mn/M+kl/N)} \quad (3-40)$$

$$m = 0, 1, \dots, M-1; \quad k = 0, 1, \dots, N-1$$

$$f(n, l) = \frac{1}{MN} \sum_{m=0}^{M-1} \sum_{k=0}^{N-1} F(m, k) e^{j2\pi(mn/M+kl/N)} \quad (3-41)$$

$$n = 0, 1, \dots, M-1; \quad l = 0, 1, \dots, N-1$$

从现在起, 不再考虑连续函数, 只考虑离散数列。为了能清楚显示离散数列是什么空间的, 将坐标 (x, y) 空间的离散数列 $\{f(n, l); n=0, 1, \dots, M-1, l=0, 1, \dots, N-1\}$ 表示为 $\{f(x, y); x=0, 1, \dots, M-1, y=0, 1, \dots, N-1\}$; 将频率 (u, v) 空间的离散数列 $\{F(m, k); m=0, 1, \dots, M-1, k=0, 1, \dots, N-1\}$ 表示为 $\{F(u, v); u=0, 1, \dots, M-1, v=0, 1, \dots, N-1\}$ 。于是, 坐标 (x, y) 空间的离散数列 $\{f(x, y); x=0, 1, \dots, M-1, y=0, 1, \dots,$

$N-1$ 的傅里叶变换为:

$$F(u, v) = \sum_{x=0}^{M-1} \sum_{y=0}^{N-1} f(x, y) e^{-j2\pi(ux/M + vy/N)} \quad (3-42)$$

$$u = 0, 1, \dots, M-1; \quad v = 0, 1, \dots, N-1$$

它的逆变换为:

$$f(x, y) = \frac{1}{MN} \sum_{u=0}^{M-1} \sum_{v=0}^{N-1} F(u, v) e^{j2\pi(ux/M + vy/N)} \quad (3-43)$$

$$x = 0, 1, \dots, M-1; \quad y = 0, 1, \dots, N-1$$

二维离散数列 $f(x, y)$ 的傅里叶变换 $F(u, v)$ 具有如下性质。这里只给出性质, 不给出证明, 证明的方法与前述一维离散数列傅里叶变换性质的证明方法相同。

(1) $F(u, v)$ 在 u 与 v 方向都是周期函数, 周期分别是 M 与 N :

$$F(u, v) = F(u + k_1 M, v) = F(u, v + k_2 N) = F(u + k_1 M, v + k_2 N) \quad (3-44)$$

$$k_1, k_2 = 0, \pm 1, \pm 2, \dots$$

由 $F(u, v)$ 的逆变换式 (3-43) 求出的 $f(x, y)$ 在 x 与 y 方向也都是周期函数, 周期也分别是 M 与 N :

$$f(x, y) = f(x + k_1 M, y) = f(x, y + k_2 N) = f(x + k_1 M, y + k_2 N) \quad (3-45)$$

$$k_1, k_2 = 0, \pm 1, \pm 2, \dots$$

原来的 $f(x, y)$ 不一定是周期函数, 而由它的傅里叶变换 $F(u, v)$ 再进行逆变换得到的 $f(x, y)$ 却变成了周期函数。为了符合傅里叶变换的这一特性, 我们应该将原始的非周期函数 $f(x, y)$ 扩展为周期函数。

(2) 如果 $f(x, y)$ 是实数离散数列, 则它的傅里叶变换 $F(u, v)$ 是共轭对称的, 即

$$F^*(u, v) = F(-u, -v), \quad |F(u, v)| = |F(-u, -v)| \quad (3-46)$$

利用性质 (1), $F^*(u, v) = F(-u, -v) = F(M-u, N-v)$, 便有

$$|F(u, v)| = |F(M-u, N-v)| \quad (3-47)$$

式 (3-47) 表示, 不必计算 $u > M/2, v > N/2$ 的 $|F(u, v)|$ 。因为它们可以由 $u < M/2, v < N/2$ 的 $|F(u, v)|$ 决定。其实 $u > M/2, v > N/2$ 的频率已超出了正常值的范围。根据取样定理, x 方向的取样频率 $u_x = 1/\Delta x > 2B_x$, y 方向的取样频率 $u_y = 1/\Delta y > 2B_y$, B_x 与 B_y 分别是连续图像 $f(x, y)$ 的傅里叶频谱在 u 方向与 v 方向的宽度 (正频部分)。 u 大于 $M/2$ 的频率是指 x 方向大于 $(M/2)\Delta u = (M/2)(1/M\Delta x) = 1/(2\Delta x) = u_x/2 > B_x$ 的频率; v 大于 $N/2$ 的频率是指 y 方向大于 $(N/2)\Delta v = (N/2)(1/N\Delta y) = 1/(2\Delta y) = u_y/2 > B_y$ 的频率。可见, 它们都超出了频率正常值的范围, 不是真实的频率, 是由于取样而产生的假频。实际上, 它们是因 $F(u, v)$ 的周期性, 由真实的

负频 $u = -B_x/2 \sim 0$ 与 $v = -B_y/2 \sim 0$ 分别沿 u 与 v 的正方向平移一个周期 M 与 N 得到的假频。

(3) 如果 $f(x, y)$ 的傅里叶变换为 $F(u, v)$, 则 $f(x - x_0, y - y_0)$ 的傅里叶变换为 $F(u, v)e^{-j2\pi\{u_0x/M + v_0y/N\}}$, $f(x, y)e^{j2\pi\{u_0x/M + v_0y/N\}}$ 的傅里叶变换为 $F(u - u_0, v - v_0)$ 。令 $u_0 = M/2, v_0 = N/2$,

$$e^{j2\pi\{u_0x/M + v_0y/N\}} = e^{j2\pi\{Mx/2M + Ny/2N\}} = e^{j\pi(x+y)}$$

$$= \cos[\pi(x+y)] + j\sin[\pi(x+y)] = (-1)^{x+y}$$

这是因为 $x+y$ 是整数, $\cos[\pi(x+y)] = (-1)^{x+y}, \sin[\pi(x+y)] = 0$ 。于是 $f(x, y)(-1)^{x+y}$ 的傅里叶变换为 $F(u - M/2, v - N/2)$ 。这表示, 当 $f(x, y)$ 乘以 $(-1)^{x+y}$ 后, 它的傅里叶变换等效于将 $F(u, v)$ 沿 u 轴与 v 轴正方向分别移动了 $M/2$ 与 $N/2$ 。于是, 在 $u = 0 \sim M, v = 0 \sim N$ 的频率空间中心点 $(u, v) = (M/2, N/2)$, 显示的频谱是 $F(0, 0)$, 而在原点 $(u, v) = (0, 0)$ 显示的是 $F(-M/2, -N/2)$, 在另外 3 个边界点 $(u, v) = (0, N), (M, 0), (M, N)$ 显示的是 $F(-M/2, N/2), F(M/2, -N/2), F(M/2, N/2)$ 。现在, 在全空间显示的正是取样前连续图像 $f(x, y)$ 的傅里叶频谱的全部范围。

(4) 二维离散数列 $h(x, y)$ 与 $f(x, y)$ 的卷积定义为:

$$h(x, y) * f(x, y) = \sum_{m=0}^{M-1} \sum_{n=0}^{N-1} h(m, n) f(x-m, y-n) \quad (3-48)$$

这里假定数列 $h(x, y)$ 与 $f(x, y)$ 有相同的大小, 都是 $M \times N$ 的数列。如果它们的大小不同, 则要将小的数列, 通过在末尾补零的方法使二者大小相同。设 $h(x, y)$ 与 $f(x, y)$ 的傅里叶变换分别是 $H(u, v)$ 与 $F(u, v)$, 则 $h(x, y) * f(x, y)$ 的傅里叶变换是 $H(u, v)F(u, v)$, 而 $h(x, y)f(x, y)$ 的傅里叶变换为:

$$H(u, v) * F(u, v) = \sum_{m=0}^{M-1} \sum_{n=0}^{N-1} H(m, n) F(x-m, y-n) \quad (3-49)$$

3.3 周期离散函数的卷积

先考虑两个一维非周期离散函数 $f(x)$ 与 $h(x)$ 的卷积。设它们的变量取值范围相同, 均为 $x = 0, 1, 2, \dots, A-1$ 。 $f(x)$ 与 $h(x)$ 的卷积计算公式为:

$$g(x) = f(x) * h(x) = \sum_{m=0}^{A-1} f(m)h(x-m) \quad (3-50)$$

$$x = 0, 1, 2, \dots, A-1$$

其中 $h(x-m)$ 是先将 $h(m)$ 相对 m 轴的原点 $m=0$ 进行反演变成 $h(-m)$ 后, 再将 $h(-m)$ 沿 m 轴正方向移动 x 距离得到的。 $h(m)$ 处于 m 轴正值区: $m = 0 \sim A-1$, 而

$h(-m)$ 处于 m 轴负值区: $m = -A+1 \sim 0$, 并且 $h(-m)$ 相对 $h(m)$ 是前后倒置的, 将一个双面镜放在 $m=0$ 处并同 m 轴垂直, $h(m)$ 与 $h(-m)$ 的曲线图互为镜像。例如, $h(m)$ 的第一个值 $h(0)$ 成为 $h(-m)$ 的最后一个值, 即 $m=0$ 的 $h(-m) = h(0)$ 。 $h(m)$ 的第二个值 $h(1)$ 成为 $h(-m)$ 的倒数第二个值, 即 $m=-1$ 的 $h(-m) = h(-(-1)) = h(1)$ 。 $h(m)$ 的最后一个值 $h(A-1)$ 成为 $h(-m)$ 的第一个值, 即 $m=-A+1$ 的 $h(-m) = h(-(-A+1)) = h(A-1)$ 。 $h(-m)$ 与 $h(m)$ 分离, 只在 $m=0$ 处相连。表 3-2 的第 2 行给出一个 $A=6$ 的离散函数 $h(m)$, 第 3 行给出 $h(-m)$, 第 4 行给出 $x=1$ 的 $h(1-m)$ 。从表中数据看出, $h(m)$ 与 $h(-m)$ 互为镜像, $h(1-m)$ 是 $h(-m)$ 沿 m 轴正方向移动 1 的结果。表中的第 5~8 行分别给出 $x=2-5$ 的 $h(x-m)$, 显然它们是 $h(-m)$ 沿 m 轴正方向分别移动 2~5 的结果。

表 3-2 $h(x-m)$ 与 $h(m)$ 的关系

m	-5	-4	-3	-2	-1	0	1	2	3	4	5
$h(m)$	0	0	0	0	0	1	2	3	4	2	1
$h(-m)$	1	2	4	3	2	1	0	0	0	0	0
$h(1-m)$	0	1	2	4	3	2	1	0	0	0	0
$h(2-m)$	0	0	1	2	4	3	2	1	0	0	0
$h(3-m)$	0	0	0	1	2	4	3	2	1	0	0
$h(4-m)$	0	0	0	0	1	2	4	3	2	1	0
$h(5-m)$	0	0	0	0	0	1	2	4	3	2	1

当 $h(-m)$ 沿 m 轴正方向移动 x 距离成为 $h(x-m)$ 时, $h(x-m)$ 进入 m 轴正值区, 在 $x=0 \sim x$ 区间同 $f(m)$ 重叠。在卷积计算公式的求和项 $f(m)h(x-m)$ 中, 只有 $h(x-m)$ 同 $f(m)$ 重叠的项才对卷积 $g(x)$ 有贡献。 $x=0$ 时只有 $f(0)h(0)$ 对卷积 $g(x)$ 有贡献。随着 x 值增大, 因重叠的项增多, 卷积 $g(x)$ 值相应改变、增大、减小或不变。

$$g(0) = f(0)h(0)$$

$$g(1) = f(0)h(1) + f(1)h(0)$$

$$g(2) = f(0)h(2) + f(1)h(1) + f(2)h(0)$$

...

$$g(A-1) = f(0)h(A-1) + f(1)h(A-2) + \dots + f(A-1)h(0)$$

现在假定 $f(x)$ 与 $h(x)$ 是周期为 A 的离散函数:

$$f(x+kA) = f(x), \quad h(x+kA) = h(x) \tag{3-51}$$

$$k = 0, \pm 1, \pm 2, \dots$$

$f(x)$ 与 $h(x)$ 的卷积定义为同一个周期内两个函数的卷积。因此, 当 $f(x)$ 与 $h(x)$ 由 x 取值范围为 $x=0 \sim A-1$ 的非周期函数变为两个周期为 A 的周期函数时, 它们的卷积是不变的。对于周期为 A 的 $f(m)$ 与 $h(m)$, 如果把 $m=0 \sim A-1$ 叫作第一周期, 则 $m=-A \sim -1$ 就是前一周期。第一周期的 $h(m)$ 经过对 $m=0$ 的反演成为 $h(-m)$ 后处于 $m=-A+1 \sim 0$, 这已是前一周期的范围。 $h(-m)$ 沿 m 轴正方向移动 x 距离成为 $h(x-m)$ 时, 只要 $x < A-1$, $h(x-m)$ 就有一部分处于前一周期内。于是, 属于第一周期的 $h(x-m)$ 就同前一周期的 $f(m)$ 有一部分重叠。在用计算机计算周期函数 $f(x)$ 与 $h(x)$ 的卷积时, 就会将分属不同周期的两个函数重叠部分对卷积的贡献计入。这就造成了计算错误。其实避免这种错误的方法很简单, 只要在两个函数的尾部添加至少 $A-1$ 个 0, 将周期扩大为 $M > 2A-1$ 就行了。现假定添加了 A 个 0, 周期扩大为 $M = 2A$ 。这时前一周期的 $f(m)$ 中 m 的取值范围是 $m = -2A \sim -1$, 其尾部 0 值区的范围是 $m = -A \sim -1$ 。而属于第一周期的 $h(-m)$ 中 m 的取值范围是 $m = -2A+1 \sim 0$, 其尾部非 0 值的范围是 $m = -A+1 \sim 0$, 它正好同前一周期函数 $f(m)$ 尾部的 0 值重叠。对于 $h(x-m)$ 来说, 它的尾部非 0 值区是在 $f(m)$ 的尾部 0 值区的范围内。显然, $h(x-m)$ 同 $f(m)$ 的 0 值重叠对卷积是没有贡献的。上述计算错误就不会发生。因此, 为了避免因不同周期函数重叠造成的计算错误, 两个周期为 A 的周期离散函数在进行卷积前应按如下方式扩大周期:

$$f_e(x) = \begin{cases} f(x), & 0 \leq x \leq A-1 \\ 0, & A \leq x \leq M-1 \end{cases} \quad (3-52)$$

$$h_e(x) = \begin{cases} h(x), & 0 \leq x \leq A-1 \\ 0, & A \leq x \leq M-1 \end{cases} \quad (3-53)$$

其中周期 M 满足条件: $M > 2A-1$ 。

如果 $f(x)$ 与 $h(x)$ 分别是周期为 A 与 B 的周期函数, 则在它们进行卷积之前, 应该按如下方式扩大周期:

$$f_e(x) = \begin{cases} f(x), & 0 \leq x \leq A-1 \\ 0, & A \leq x \leq M-1 \end{cases} \quad (3-54)$$

$$h_e(x) = \begin{cases} h(x), & 0 \leq x \leq B-1 \\ 0, & B \leq x \leq M-1 \end{cases} \quad (3-55)$$

其中周期 M 满足条件: $M > A+B-1$ 。 $f_e(x)$ 与 $h_e(x)$ 的卷积为:

$$f_e(x) * h_e(x) = \sum_{m=0}^{M-1} f_e(m) h_e(x-m) \quad (3-56)$$

现在把上述一维结果推广到二维。设二维周期函数 $f(x, y)$ 与 $h(x, y)$ 的 x, y 取值范围分别是

$$f(x, y): x = 0, 1, 2, \dots, A-1; y = 0, 1, 2, \dots, B-1$$

$$h(x, y): x = 0, 1, 2, \dots, C-1; y = 0, 1, 2, \dots, D-1$$

$f(x, y)$ 与 $h(x, y)$ 在 x 方向的周期分别是 A 与 C ，在 y 方向的周期分别是 B 与 D 。

考虑到进行卷积的两个函数的周期必须相同，同时又要避免因不同周期函数的重叠产生的计算错误， $f(x, y)$ 与 $h(x, y)$ 在进行卷积前要按如下方式扩大周期：

$$f_e(x, y) = \begin{cases} f(x, y), & 0 \leq x \leq A-1, 0 \leq y \leq B-1 \\ 0, & A \leq x \leq M-1, B \leq y \leq N-1 \end{cases} \quad (3-57)$$

$$h_e(x, y) = \begin{cases} h(x, y), & 0 \leq x \leq C-1, 0 \leq y \leq D-1 \\ 0, & C \leq x \leq M-1, D \leq y \leq N-1 \end{cases} \quad (3-58)$$

其中 M 与 N 满足条件：

$$M > A + C - 1, \quad N > B + D - 1 \quad (3-59)$$

$f_e(x, y)$ 与 $h_e(x, y)$ 满足周期条件：

$$f_e(x + kM, y + lN) = f_e(x, y); \quad h_e(x + kM, y + lN) = h_e(x, y) \quad (3-60)$$

$$k, l = 0, \pm 1, \pm 2, \dots$$

$f_e(x, y)$ 与 $h_e(x, y)$ 的卷积为：

$$f_e(x, y) * h_e(x, y) = \sum_{m=0}^{M-1} \sum_{n=0}^{N-1} f_e(m, n) h_e(x - m, y - n) \quad (3-61)$$

3.4 快速傅里叶变换

当 N 很大时，傅里叶变换的计算量非常大。为了解决这个问题，人们发展了傅里叶变换的快速算法。下面先讨论一维快速傅里叶变换。一维傅里叶变换与逆变换的公式为：

$$F(u) = \sum_{x=0}^{N-1} f(x) e^{-j2\pi ux/N}, \quad u = 0, 1, \dots, N-1 \quad (3-62)$$

$$f(x) = \frac{1}{N} \sum_{u=0}^{N-1} F(u) e^{j2\pi ux/N}, \quad x = 0, 1, \dots, N-1 \quad (3-63)$$

令

$$W = e^{-j2\pi/N} \quad (3-64)$$

式 (3-62) 与式 (3-63) 变为

$$F(u) = \sum_{x=0}^{N-1} W^{ux} f(x), \quad u = 0, 1, \dots, N-1$$

$$f(x) = \frac{1}{N} \sum_{u=0}^{N-1} W^{-xu} F(u), \quad x = 0, 1, \dots, N-1 \quad (3-65)$$

这两式的矩阵形式为

$$\begin{pmatrix} F(0) \\ F(1) \\ \vdots \\ F(N-1) \end{pmatrix} = \begin{pmatrix} W^0 & W^0 & \cdots & W^0 \\ W^0 & W^1 & \cdots & W^{(N-1)} \\ \vdots & \vdots & \vdots & \vdots \\ W^0 & W^{(N-1)} & \cdots & W^{(N-1)(N-1)} \end{pmatrix} \begin{pmatrix} f(0) \\ f(1) \\ \vdots \\ f(N-1) \end{pmatrix} \quad (3-66)$$

$$\begin{pmatrix} f(0) \\ f(1) \\ \vdots \\ f(N-1) \end{pmatrix} = \begin{pmatrix} W^0 & W^0 & \cdots & W^0 \\ W^0 & W^{-1} & \cdots & W^{-(N-1)} \\ \vdots & \vdots & \vdots & \vdots \\ W^0 & W^{-(N-1)} & \cdots & W^{-(N-1)(N-1)} \end{pmatrix} \begin{pmatrix} F(0) \\ F(1) \\ \vdots \\ F(N-1) \end{pmatrix} \quad (3-67)$$

W^{ux} 有以下几个性质:

- ① $W^0 = W^{lN} = 1 (l=0, \pm 1, \dots)$;
- ② $W^{\left(ux \pm \frac{N}{2}\right)} = -W^{ux}$;
- ③ $W^{(ux \pm lN)} = W^{ux}$ 。

通常限定 $N = 2^n$, n 是正整数。先讨论 $N = 4$ ($n = 2$) 的傅里叶变换:

$$\begin{pmatrix} F(0) \\ F(1) \\ F(2) \\ F(3) \end{pmatrix} = \begin{pmatrix} W^0 & W^0 & W^0 & W^0 \\ W^0 & W^1 & W^2 & W^3 \\ W^0 & W^2 & W^4 & W^6 \\ W^0 & W^3 & W^6 & W^9 \end{pmatrix} \begin{pmatrix} f(0) \\ f(1) \\ f(2) \\ f(3) \end{pmatrix} \quad (3-68)$$

利用 W^{ux} 的上述性质, $W^0 = 1$, $W^2 = W^{(0+2)} = -W^0 = -1$ ($2 = N/2$), $W^3 = W^{(1+2)} = -W^1$, $W^4 = 1$ ($4 = N$), $W^6 = W^{(2+4)} = W^2 = -1$, $W^9 = W^{(1+8)} = W^1$ 。将上述 W^{ux} 值代入式 (3-68), 得

$$\begin{pmatrix} F(0) \\ F(1) \\ F(2) \\ F(3) \end{pmatrix} = \begin{pmatrix} 1 & 1 & 1 & 1 \\ 1 & W^1 & -1 & -W^1 \\ 1 & -1 & 1 & -1 \\ 1 & -W^1 & -1 & W^1 \end{pmatrix} \begin{pmatrix} f(0) \\ f(1) \\ f(2) \\ f(3) \end{pmatrix} \quad (3-69)$$

改变 $F(m)$ 的排列次序,

$$\begin{pmatrix} F(0) \\ F(2) \\ F(1) \\ F(3) \end{pmatrix} = \begin{pmatrix} 1 & 1 & 1 & 1 \\ 1 & -1 & 1 & -1 \\ 1 & W^1 & -1 & -W^1 \\ 1 & -W^1 & -1 & W^1 \end{pmatrix} \begin{pmatrix} f(0) \\ f(1) \\ f(2) \\ f(3) \end{pmatrix} \quad (3-70)$$

将上式表示为

$$F = Wf \quad (3-71)$$

其中

$$F = \begin{pmatrix} F(0) \\ F(2) \\ F(1) \\ F(3) \end{pmatrix}, \quad W = \begin{pmatrix} 1 & 1 & 1 & 1 \\ 1 & -1 & 1 & -1 \\ 1 & W^1 & -1 & -W^1 \\ 1 & -W^1 & -1 & W^1 \end{pmatrix}, \quad f = \begin{pmatrix} f(0) \\ f(1) \\ f(2) \\ f(3) \end{pmatrix} \quad (3-72)$$

不难证明，式 (3-71) 中的矩阵 W 可以表示为两个矩阵相乘：

$$W = W_2 W_1 \quad (3-73)$$

$$W_1 = \begin{pmatrix} 1 & 0 & 1 & 0 \\ 0 & 1 & 0 & 1 \\ 1 & 0 & -1 & 0 \\ 0 & 1 & 0 & -1 \end{pmatrix}, \quad W_2 = \begin{pmatrix} 1 & 1 & 0 & 0 \\ 1 & -1 & 0 & 0 \\ 0 & 0 & 1 & W^1 \\ 0 & 0 & 1 & -W^1 \end{pmatrix} \quad (3-74)$$

我们注意到，矩阵 W_1 与 W_2 的每一行只有两个元素不为 0，每一列也只有两个元素不为 0。将傅里叶变换式 (3-71) 表示为

$$F = W_2 W_1 f = W_2 f_1 \quad (3-75)$$

其中

$$f_1 = W_1 f = \begin{pmatrix} 1 & 0 & 1 & 0 \\ 0 & 1 & 0 & 1 \\ 1 & 0 & -1 & 0 \\ 0 & 1 & 0 & -1 \end{pmatrix} \begin{pmatrix} f(0) \\ f(1) \\ f(2) \\ f(3) \end{pmatrix} = \begin{pmatrix} f(0) + f(2) \\ f(1) + f(3) \\ f(0) - f(2) \\ f(1) - f(3) \end{pmatrix} = \begin{pmatrix} f_1(0) \\ f_1(1) \\ f_1(2) \\ f_1(3) \end{pmatrix} \quad (3-76)$$

$$F = W_2 f_1 = \begin{pmatrix} 1 & 1 & 0 & 0 \\ 1 & -1 & 0 & 0 \\ 0 & 0 & 1 & W^1 \\ 0 & 0 & 1 & -W^1 \end{pmatrix} \begin{pmatrix} f_1(0) \\ f_1(1) \\ f_1(2) \\ f_1(3) \end{pmatrix} = \begin{pmatrix} f_1(0) + f_1(1) \\ f_1(0) - f_1(1) \\ f_1(2) + W^1 f_1(3) \\ f_1(2) - W^1 f_1(3) \end{pmatrix} = \begin{pmatrix} F(0) \\ F(2) \\ F(1) \\ F(3) \end{pmatrix} \quad (3-77)$$

现在，傅里叶变换通过两次运算完成。在第一次 $W_1 f$ 的运算中，有 4 次加减法运算，没有乘法运算。在第二次 $W_2 f_1$ 的运算中，有 4 次加减法运算，一次乘法运算： $W^1 f_1(3)$ 。在两次运算中，共有 8 次加减法运算，1 次乘法运算。这是快速运算的结果。如用通常的算法，由式 (3-69) 看出，共有 12 次加减法运算，2 次乘法运算： $W^1 f(1)$ 与 $W^1 f(3)$ 。两种算法中的乘法次数之比为 2，加减法次数之比为 $12/8=1.5$ 。

再讨论 $N=8$ ($n=3$) 的傅里叶变换：

$$\begin{pmatrix} F(0) \\ F(1) \\ F(2) \\ F(3) \\ F(4) \\ F(5) \\ F(6) \\ F(7) \end{pmatrix} = \begin{pmatrix} W^0 & W^0 & W^0 & W^0 & W^0 & W^0 & W^0 & W^0 \\ W^0 & W^1 & W^2 & W^3 & W^4 & W^5 & W^6 & W^7 \\ W^0 & W^2 & W^4 & W^6 & W^8 & W^{10} & W^{12} & W^{14} \\ W^0 & W^3 & W^6 & W^9 & W^{12} & W^{15} & W^{18} & W^{21} \\ W^0 & W^4 & W^8 & W^{12} & W^{16} & W^{20} & W^{24} & W^{28} \\ W^0 & W^5 & W^{10} & W^{15} & W^{20} & W^{25} & W^{30} & W^{35} \\ W^0 & W^6 & W^{12} & W^{18} & W^{24} & W^{30} & W^{36} & W^{42} \\ W^0 & W^7 & W^{14} & W^{21} & W^{28} & W^{35} & W^{42} & W^{49} \end{pmatrix} \begin{pmatrix} f(0) \\ f(1) \\ f(2) \\ f(3) \\ f(4) \\ f(5) \\ f(6) \\ f(7) \end{pmatrix} \quad (3-78)$$

利用 W^{ux} 的性质, 将 W^{ux} 简化, 如 $W^{49} = W^{(1+6 \times 8)} = W^1$, $W^{42} = W^{(2+5 \times 8)} = W^2$, $W^8 = 1$, $W^7 = W^{(3+4)} = -W^3$, $W^{14} = W^{(6+8)} = W^6 = W^{(2+4)} = -W^2$, ...。将简化后的 W^{ux} 代入上式, 得

$$\begin{pmatrix} F(0) \\ F(1) \\ F(2) \\ F(3) \\ F(4) \\ F(5) \\ F(6) \\ F(7) \end{pmatrix} = \begin{pmatrix} 1 & 1 & 1 & 1 & 1 & 1 & 1 & 1 \\ 1 & W^1 & W^2 & W^3 & -1 & -W^1 & -W^2 & -W^3 \\ 1 & W^2 & -1 & -W^2 & 1 & W^2 & -1 & -W^2 \\ 1 & W^3 & -W^2 & W^1 & -1 & -W^3 & W^2 & -W^1 \\ 1 & -1 & 1 & -1 & 1 & -1 & 1 & -1 \\ 1 & -W^1 & W^2 & -W^3 & -1 & W^1 & -W^2 & W^3 \\ 1 & -W^2 & -1 & W^2 & 1 & -W^2 & -1 & W^2 \\ 1 & -W^3 & -W^2 & -W^1 & -1 & W^3 & W^2 & W^1 \end{pmatrix} \begin{pmatrix} f(0) \\ f(1) \\ f(2) \\ f(3) \\ f(4) \\ f(5) \\ f(6) \\ f(7) \end{pmatrix} \quad (3-79)$$

改变 $F(m)$ 的排列次序:

$$\begin{pmatrix} F(0) \\ F(4) \\ F(2) \\ F(6) \\ F(1) \\ F(5) \\ F(3) \\ F(7) \end{pmatrix} = \begin{pmatrix} 1 & 1 & 1 & 1 & 1 & 1 & 1 & 1 \\ 1 & -1 & 1 & -1 & 1 & -1 & 1 & -1 \\ 1 & W^2 & -1 & -W^2 & 1 & W^2 & -1 & -W^2 \\ 1 & -W^2 & -1 & W^2 & 1 & -W^2 & -1 & W^2 \\ 1 & W^1 & W^2 & W^3 & -1 & -W^1 & -W^2 & -W^3 \\ 1 & -W^1 & W^2 & -W^3 & -1 & W^1 & -W^2 & W^3 \\ 1 & W^3 & -W^2 & W^1 & -1 & -W^3 & W^2 & -W^1 \\ 1 & -W^3 & -W^2 & -W^1 & -1 & W^3 & W^2 & W^1 \end{pmatrix} \begin{pmatrix} f(0) \\ f(1) \\ f(2) \\ f(3) \\ f(4) \\ f(5) \\ f(6) \\ f(7) \end{pmatrix} \quad (3-80)$$

上式可表示为:

$$F = Wf \quad (3-81)$$

不难证明, 矩阵 W 可以表示为 3 个矩阵相乘:

$$W = W_3 W_2 W_1 \quad (3-82)$$

$$W_1 = \begin{pmatrix} 1 & 0 & 0 & 0 & 1 & 0 & 0 & 0 \\ 0 & 1 & 0 & 0 & 0 & 1 & 0 & 0 \\ 0 & 0 & 1 & 0 & 0 & 0 & 1 & 0 \\ 0 & 0 & 0 & 1 & 0 & 0 & 0 & 1 \\ 1 & 0 & 0 & 0 & -1 & 0 & 0 & 0 \\ 0 & 1 & 0 & 0 & 0 & -1 & 0 & 0 \\ 0 & 0 & 1 & 0 & 0 & 0 & -1 & 0 \\ 0 & 0 & 0 & 1 & 0 & 0 & 0 & -1 \end{pmatrix} \quad (3-83)$$

$$W_2 = \begin{pmatrix} 1 & 0 & 1 & 0 & 0 & 0 & 0 & 0 \\ 0 & 1 & 0 & 1 & 0 & 0 & 0 & 0 \\ 1 & 0 & -1 & 0 & 0 & 0 & 0 & 0 \\ 0 & 1 & 0 & -1 & 0 & 0 & 0 & 0 \\ 0 & 0 & 0 & 0 & 1 & 0 & W^2 & 0 \\ 0 & 0 & 0 & 0 & 0 & 1 & 0 & W^2 \\ 0 & 0 & 0 & 0 & 1 & 0 & -W^2 & 0 \\ 0 & 0 & 0 & 0 & 0 & 1 & 0 & -W^2 \end{pmatrix} \quad (3-84)$$

$$W_3 = \begin{pmatrix} 1 & 1 & 0 & 0 & 0 & 0 & 0 & 0 \\ 1 & -1 & 0 & 0 & 0 & 0 & 0 & 0 \\ 0 & 0 & 1 & W^2 & 0 & 0 & 0 & 0 \\ 0 & 0 & 1 & -W^2 & 0 & 0 & 0 & 0 \\ 0 & 0 & 0 & 0 & 1 & W^1 & 0 & 0 \\ 0 & 0 & 0 & 0 & 1 & -W^1 & 0 & 0 \\ 0 & 0 & 0 & 0 & 0 & 0 & 1 & W^3 \\ 0 & 0 & 0 & 0 & 0 & 0 & 1 & -W^3 \end{pmatrix} \quad (3-85)$$

我们注意到，在 W_1, W_2, W_3 矩阵中，每一行只有两个元素不为 0，每一列也只有两个元素不为 0。现在，傅里叶变换式 (3-81) 可以表示为：

$$F = W_3 W_2 W_1 f = W_3 W_2 f_1 = W_3 f_2 \quad (3-86)$$

其中

$$f_1 = W_1 f = \begin{pmatrix} 1 & 0 & 0 & 0 & 1 & 0 & 0 & 0 \\ 0 & 1 & 0 & 0 & 0 & 1 & 0 & 0 \\ 0 & 0 & 1 & 0 & 0 & 0 & 1 & 0 \\ 0 & 0 & 0 & 1 & 0 & 0 & 0 & 1 \\ 1 & 0 & 0 & 0 & -1 & 0 & 0 & 0 \\ 0 & 1 & 0 & 0 & 0 & -1 & 0 & 0 \\ 0 & 0 & 1 & 0 & 0 & 0 & -1 & 0 \\ 0 & 0 & 0 & 1 & 0 & 0 & 0 & -1 \end{pmatrix} \begin{pmatrix} f(0) \\ f(1) \\ f(2) \\ f(3) \\ f(4) \\ f(5) \\ f(6) \\ f(7) \end{pmatrix} = \begin{pmatrix} f(0) + f(4) \\ f(1) + f(5) \\ f(2) + f(6) \\ f(3) + f(7) \\ f(0) - f(4) \\ f(1) - f(5) \\ f(2) - f(6) \\ f(3) - f(7) \end{pmatrix} = \begin{pmatrix} f_1(0) \\ f_1(1) \\ f_1(2) \\ f_1(3) \\ f_1(4) \\ f_1(5) \\ f_1(6) \\ f_1(7) \end{pmatrix} \quad (3-87)$$

$$\begin{aligned}
 \mathbf{f}_2 = \mathbf{W}_2 \mathbf{f}_1 &= \begin{pmatrix} 1 & 0 & 1 & 0 & 0 & 0 & 0 & 0 \\ 0 & 1 & 0 & 1 & 0 & 0 & 0 & 0 \\ 1 & 0 & -1 & 0 & 0 & 0 & 0 & 0 \\ 0 & 1 & 0 & -1 & 0 & 0 & 0 & 0 \\ 0 & 0 & 0 & 0 & 1 & 0 & W^2 & 0 \\ 0 & 0 & 0 & 0 & 0 & 1 & 0 & W^2 \\ 0 & 0 & 0 & 0 & 1 & 0 & -W^2 & 0 \\ 0 & 0 & 0 & 0 & 0 & 1 & 0 & -W^2 \end{pmatrix} \begin{pmatrix} f_1(0) \\ f_1(1) \\ f_1(2) \\ f_1(3) \\ f_1(4) \\ f_1(5) \\ f_1(6) \\ f_1(7) \end{pmatrix} \\
 &= \begin{pmatrix} f_1(0) + f_1(2) \\ f_1(1) + f_1(3) \\ f_1(0) - f_1(2) \\ f_1(1) - f_1(3) \\ f_1(4) + W^2 f_1(6) \\ f_1(5) + W^2 f_1(7) \\ f_1(4) - W^2 f_1(6) \\ f_1(5) - W^2 f_1(7) \end{pmatrix} = \begin{pmatrix} f_2(0) \\ f_2(1) \\ f_2(2) \\ f_2(3) \\ f_2(4) \\ f_2(5) \\ f_2(6) \\ f_2(7) \end{pmatrix} \quad (3-88)
 \end{aligned}$$

$$\begin{aligned}
 \mathbf{F} = \mathbf{W}_3 \mathbf{f}_2 &= \begin{pmatrix} 1 & 1 & 0 & 0 & 0 & 0 & 0 & 0 \\ 1 & -1 & 0 & 0 & 0 & 0 & 0 & 0 \\ 0 & 0 & 1 & W^2 & 0 & 0 & 0 & 0 \\ 0 & 0 & 1 & -W^2 & 0 & 0 & 0 & 0 \\ 0 & 0 & 0 & 0 & 1 & W^1 & 0 & 0 \\ 0 & 0 & 0 & 0 & 1 & -W^1 & 0 & 0 \\ 0 & 0 & 0 & 0 & 0 & 0 & 1 & W^3 \\ 0 & 0 & 0 & 0 & 0 & 0 & 1 & -W^3 \end{pmatrix} \begin{pmatrix} f_2(0) \\ f_2(1) \\ f_2(2) \\ f_2(3) \\ f_2(4) \\ f_2(5) \\ f_2(6) \\ f_2(7) \end{pmatrix} \\
 &= \begin{pmatrix} f_2(0) + f_2(1) \\ f_2(0) - f_2(1) \\ f_2(2) + W^2 f_2(3) \\ f_2(2) - W^2 f_2(3) \\ f_2(4) + W^1 f_2(5) \\ f_2(4) - W^1 f_2(5) \\ f_2(6) + W^3 f_2(7) \\ f_2(6) - W^3 f_2(7) \end{pmatrix} = \begin{pmatrix} F(0) \\ F(4) \\ F(2) \\ F(6) \\ F(1) \\ F(5) \\ F(3) \\ F(7) \end{pmatrix} \quad (3-89)
 \end{aligned}$$

傅里叶变换式(3-86)通过3次运算完成。在第1次 $\mathbf{W}_1 \mathbf{f}$ 的运算中,有8次加减法运算,没有乘法运算。在第2次 $\mathbf{W}_2 \mathbf{f}_1$ 的运算中,有8次加减法运算,2次乘法运算: $W^2 f_1(6), W^2 f_1(7)$ 。在第3次 $\mathbf{W}_3 \mathbf{f}_2$ 的运算中,有8次加减法运算,3次乘法运算:

$W^2 f_2(3), W^1 f_2(5), W^3 f_2(7)$ 。在 3 次运算中, 共有 $8 \times 3 = 24$ 次加减法运算, $2 + 3 = 5$ 次乘法运算。这是快速运算的结果。如用通常算法, 由式 (3-79) 可以看出, 共有 $8 \times 7 = 56$ 次加减法运算, 14 次乘法运算, 它们是 $W^1 f(1), W^2 f(2), W^3 f(3), W^1 f(5), W^2 f(6), W^3 f(7), W^2 f(1), W^2 f(3), W^2 f(5), W^2 f(7), W^3 f(1), W^1(3), W^3 f(5), W^1(7)$ 。两种算法中的乘法次数之比为 $14/5 = 2.8$, 加减法次数之比为 $56/24 = 2.3$ 。随着 N 值的增大, 这两个比值会迅速增大, 快速运算的优越性会非常明显。

下面, 给出估计快速傅里叶变换中乘法出现次数的方法。以 $N = 8$ 的傅里叶变换为例, 对矩阵 W_1, W_2, W_3 的任一行中两个不为 0 的元素为 $1, \pm 1$ 的, 改写为 $1, \pm W^0$, 并且将 W^0 参与的乘法运算也计入。于是, W_1, W_2, W_3 为

$$W_1 = \begin{pmatrix} 1 & 0 & 0 & 0 & W^0 & 0 & 0 & 0 \\ 0 & 1 & 0 & 0 & 0 & W^0 & 0 & 0 \\ 0 & 0 & 1 & 0 & 0 & 0 & W^0 & 0 \\ 0 & 0 & 0 & 1 & 0 & 0 & 0 & W^0 \\ 1 & 0 & 0 & 0 & -W^0 & 0 & 0 & 0 \\ 0 & 1 & 0 & 0 & 0 & -W^0 & 0 & 0 \\ 0 & 0 & 1 & 0 & 0 & 0 & -W^0 & 0 \\ 0 & 0 & 0 & 1 & 0 & 0 & 0 & -W^0 \end{pmatrix} \quad (3-90)$$

$$W_2 = \begin{pmatrix} 1 & 0 & W^0 & 0 & 0 & 0 & 0 & 0 \\ 0 & 1 & 0 & W^0 & 0 & 0 & 0 & 0 \\ 1 & 0 & -W^0 & 0 & 0 & 0 & 0 & 0 \\ 0 & 1 & 0 & -W^0 & 0 & 0 & 0 & 0 \\ 0 & 0 & 0 & 0 & 1 & 0 & W^2 & 0 \\ 0 & 0 & 0 & 0 & 0 & 1 & 0 & W^2 \\ 0 & 0 & 0 & 0 & 0 & 1 & 0 & -W^2 \\ 0 & 0 & 0 & 0 & 0 & 0 & 1 & -W^2 \end{pmatrix} \quad (3-91)$$

$$W_3 = \begin{pmatrix} 1 & W^0 & 0 & 0 & 0 & 0 & 0 & 0 \\ 1 & -W^0 & 0 & 0 & 0 & 0 & 0 & 0 \\ 0 & 0 & 1 & W^2 & 0 & 0 & 0 & 0 \\ 0 & 0 & 1 & -W^2 & 0 & 0 & 0 & 0 \\ 0 & 0 & 0 & 0 & 1 & W^1 & 0 & 0 \\ 0 & 0 & 0 & 0 & 1 & -W^1 & 0 & 0 \\ 0 & 0 & 0 & 0 & 0 & 0 & 1 & W^3 \\ 0 & 0 & 0 & 0 & 0 & 0 & 1 & -W^3 \end{pmatrix} \quad (3-92)$$

现在, 矩阵 W_1, W_2, W_3 的每一行中不为 0 的两个元素都是 1 与 $\pm W^k$ ($k = 0, 1, 2, 3$),

在任一列中的两个不为 0 的元素, 要么都是 1, 要么一个是 W^k , 一个是 $-W^k$ 。处于同一列中的两个 W^k (不考虑 \pm 号) 在运算中必定同后面一列矩阵的同一个元素相乘。这两个相乘被认为是一次乘法。因此, 在 $W_i f_{i-1}$ 的运算中, 乘法出现的次数都是 $8/2=4$ ($N/2$), 3 次运算中乘法出现的次数为 $3 \times 4=12$ ($nN/2$)。而在通常算法中, 我们也将 $W^0=1$ 参与的乘法计入, 乘法出现的次数为 $8 \times 8=64$ (N^2)。通常算法与快速算法中乘法出现的次数之比为 $64/12=5.3$ ($N^2/(nN/2)=2N/n$)。

对于任意 $N=2^n$ 的傅里叶变换

$$\begin{pmatrix} F(0) \\ F(1) \\ \vdots \\ F(N-1) \end{pmatrix} = \begin{pmatrix} W^0 & W^0 & \cdots & W^0 \\ W^0 & W^1 & \cdots & W^{(N-1)} \\ \vdots & \vdots & \vdots & \vdots \\ W^0 & W^{(N-1)} & \cdots & W^{(N-1)(N-1)} \end{pmatrix} \begin{pmatrix} f(0) \\ f(1) \\ \vdots \\ f(N-1) \end{pmatrix} \quad (3-93)$$

快速运算的方法同 $N=4, 8$ 的傅里叶变换的快速运算的方法是一样的。

(1) 按照 W^k 的性质, 将 W^k 简化, 使 W^k 的上标 $k=0, 1, \dots, (N/2)-1$ 。

(2) 按照一定的规则, 改变 $F(0), F(1), \dots, F(N-1)$ 的排列次序, 式 (3-93) 中的矩阵 W 随之改变。令此时的傅里叶变换公式为

$$F = Wf \quad (3-94)$$

其中的矩阵 W 一定可以表示为 n 个矩阵相乘:

$$W = W_n W_{n-1} \cdots W_2 W_1 \quad (3-95)$$

这 n 个矩阵 $W_i (i=1, 2, \dots, n)$ 的任一行只有 2 个不为 0 的元素: 1 与 $\pm W^k$, 其中 $k=0, 1, \dots, (N/2)-1$, 任一列也只有 2 个不为 0 的元素, 并且这两个元素要么都是 1, 要么一个是 W^k , 一个是 $-W^k$ 。处于同一列中的两个 W^k (不考虑 \pm 号) 在运算中必定同后面一列矩阵的同一个元素相乘。这两个相乘被认为是一次乘法。

(3) 将式 (3-95) 代入式 (3-94), 便有

$$\begin{aligned} F &= W_n W_{n-1} \cdots W_2 W_1 f \\ &= W_n W_{n-1} \cdots W_2 f_1 \\ &\quad \cdots \\ &= W_n W_{n-1} f_{n-2} \\ &= W_n f_{n-1} \end{aligned} \quad (3-96)$$

其中

$$f_1 = W_1 f, \quad f_2 = W_2 f_1, \quad \cdots, \quad f_{n-1} = W_{n-1} f_{n-2} \quad (3-97)$$

式 (3-96) 表示, $N=2^n$ 的傅里叶变换的快速算法是通过 $f_1 = W_1 f, f_2 = W_2 f_1, \dots, f_{n-1} = W_{n-1} f_{n-2}, F = W_n f_{n-1}$ 的 n 次运算完成的。在每一次运算中, 加减法出现的次数均为 N , 乘法出现的次数均为 $N/2$ 。在 n 次运算中, 加减法出现的总次数为 nN , 乘法

出现的总次数为 $nN/2$ 。而在通常的算法中，由式 (3-93) 可以看出，加减法出现的次数为 $N(N-1)$ ，乘法出现的次数为 N^2 。通常算法与快速算法中的加减法次数之比为 $(N-1)/n$ ，乘法次数之比为 $2N/n$ 。显然， N 愈大，这两个比值愈大。例如， $N = 256 = 2^8$ ($n = 8$)，快速算法中加减法出现的次数为 $nN = 8 \times 256 = 2040$ ，乘法出现的次数为 $nN/2 = 8 \times 256/2 = 1024$ 。通常算法中，加减法出现的次数为 $N(N-1) = 256 \times 255 = 65280$ ，乘法出现的次数为 $N^2 = 256^2 = 65536$ 。通常算法与快速算法中的加减法次数之比为 $(N-1)/n = 255/8 = 31.9$ ，乘法次数之比为 $2N/n = 2 \times 256/8 = 64$ 。由此可以看出快速算法的优越性。

在快速傅里叶变换中，改变 $F(m)$ 的排列次序与求出 n 个相乘的矩阵是比较复杂的事。然而，我们无须了解。因为目前已有现成快速傅里叶变换与逆变换的程序软件。在计算机上用 MATLAB 的 `fft` 与 `ifft` 函数运算就可以完成一维快速傅里叶变换与逆变换。

下面再讨论二维快速傅里叶变换。对于大小为 $N \times N$ 的离散图像 $f(x, y)$ ，傅里叶变换与逆变换的公式为

$$F(u, v) = \sum_{x=0}^{N-1} \sum_{y=0}^{N-1} f(x, y) e^{-j2\pi(ux+vy)/N}, \quad u, v = 0, 1, \dots, N-1 \quad (3-98)$$

$$f(x, y) = \frac{1}{N^2} \sum_{u=0}^{N-1} \sum_{v=0}^{N-1} F(u, v) e^{j2\pi(ux+vy)/N}, \quad x, y = 0, 1, \dots, N-1 \quad (3-99)$$

由于

$$e^{-j2\pi(ux+vy)/N} = e^{-j2\pi ux/N} e^{-j2\pi vy/N}$$

式 (3-98) 可以表示为

$$F(u, v) = \sum_{x=0}^{N-1} e^{-j2\pi ux/N} \sum_{y=0}^{N-1} f(x, y) e^{-j2\pi vy/N}, \quad u, v = 0, 1, \dots, N-1 \quad (3-100)$$

令

$$F(x, v) = \sum_{y=0}^{N-1} f(x, y) e^{-j2\pi vy/N}, \quad v = 0, 1, \dots, N-1 \quad (3-101)$$

式 (3-100) 变为

$$F(u, v) = \sum_{x=0}^{N-1} F(x, v) e^{-j2\pi ux/N}, \quad u = 0, 1, \dots, N-1 \quad (3-102)$$

现在，二维傅里叶变换式 (3-98) 通过两次一维傅里叶变换式 (3-101) 与式 (3-102) 来实现。这两次一维傅里叶变换均可以用快速算法完成，这就是二维快速傅里叶变换。

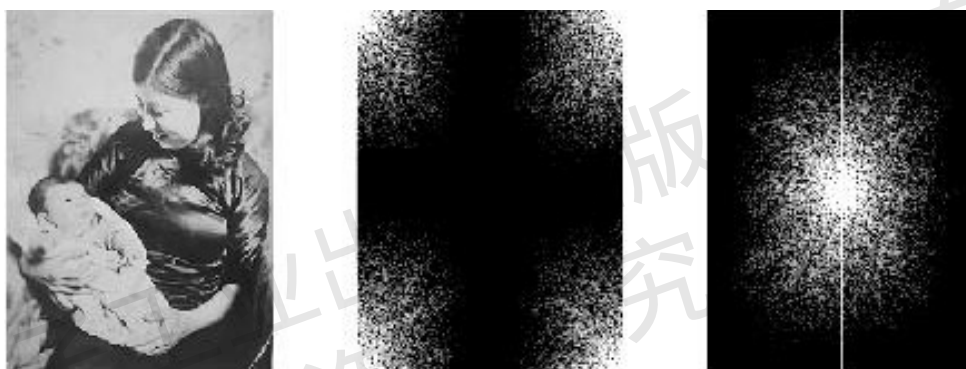
在计算机上，用 MATLAB 的 `fft2` 与 `ifft2` 函数运算就可以完成二维快速傅里叶

变换与逆变换。

[示例 3-3] 对一幅图像进行傅里叶变换，并将得到的频谱原点由频谱图的左上角平移到频谱图的中心。

```
I=imread('2-16a.jpg');
I=rgb2gray(I);
K=fft2(I); % 对图像 I 进行傅里叶变换
J=fftshift(K); % 将变换后的频谱原点平移到频谱图的中心
subplot(1,3,1),imshow(I); % 显示原图像
subplot(1,3,2),imshow(log(abs(K)),[8,10]); % 显示傅里叶变换后的频谱
subplot(1,3,3),imshow(log(abs(J)),[8,10]); % 显示频谱原点位于中心的频谱图
```

程序运行后，输出图像如图 3-2 所示。



(a) 原始图像

(b) 频谱原点位于 4 角

(c) 频谱原点位于中心

图 3-2 图像的傅里叶变换

其中图 3-2 (a) 为原始图像，图 3-2 (b) 是对图像进行傅里叶变换后的频谱图。频谱原点位于图的 4 个角上。图 3-2 (c) 是将图 3-2 (b) 任一角（如左上角）上的频谱原点平移到图的中心。在显示变换后的频谱 J 时，由于 J 一般为复数，复数是不能显示的。所以在显示 J 时，要对 J 取绝对值： $\text{abs}(J)$ 。为显示得更清楚，再取对数 $\log(\text{abs}(J))$ 。

设原始图像的大小为 $M \times N$ ，则图 3-2 (c) 的频谱原点位于中心点 $(M/2, N/2)$ 。在此频谱图中，中心区是低频区，接近 4 个角的区是高频区。位于图中 (u, v) 点的频率大小 $D(u, v)$ 可以用 (u, v) 点到频谱原点 $(M/2, N/2)$ 的距离表示：

$$D(u, v) = \left[\left(u - \frac{M}{2} \right)^2 + \left(v - \frac{N}{2} \right)^2 \right]^{1/2}$$

3.5 频率域图像增强的基本概念

空间域一幅 $M \times N$ 的数字图像 $f(x, y)$ ，经过傅里叶变换后成为频率域的 $M \times N$ 的数列 $F(u, v)$ ，其中 u 与 v 分别是 x 与 y 方向的频率。 $|F(u, v)|$ 表示图像 $f(x, y)$ 中所含频率为 u 与 v 的成分的强度。我们无法准确地表示出频率 u 与 v 同图像的什么性质有关，只能大概地指出，由于频率 u 与 v 分别表示图像灰度在 x 与 y 方向的变化率，低频对应图像中灰度变化缓慢的部分，例如一幅房屋图像中的墙面和地面；高频对应图像中灰度变化剧烈的部分，例如物体的边缘与噪声。

频率域图像增强就是通过改变 $F(u, v)$ 来达到改善图像的目的。改变 $F(u, v)$ 是在频率域用滤波函数 $H(u, v)$ 去乘 $F(u, v)$ 来实现的。 $H(u, v)$ 也叫作传递函数或滤波器。 $H(u, v)$ 也是 $M \times N$ 的数列。 $H(u, v)$ 同 $F(u, v)$ 相乘得到 $G(u, v)$ ：

$$G(u, v) = H(u, v)F(u, v) \quad (3-103)$$

$H(u, v)$ 同 $F(u, v)$ 相乘并非一般意义上的矩阵相乘，而是将 $H(u, v)$ 的第 m 行第 n 列元素 H_{mn} 同 $F(u, v)$ 的第 m 行第 n 列元素 F_{mn} 相乘得到 $G(u, v)$ 的第 m 行第 n 列元素 $G_{mn} = H_{mn}F_{mn}$ 。 $G(u, v)$ 就是 $F(u, v)$ 改变后的频谱。一个最简单的滤波函数是

$$H(u, v) = \begin{cases} 0, & (u, v) = (M/2, N/2) \\ 1, & (u, v) \neq (M/2, N/2) \end{cases} \quad (3-104)$$

它同 $F(u, v)$ 相乘的结果是

$$G(u, v) = \begin{cases} 0, & (u, v) = (M/2, N/2) \\ F(u, v), & (u, v) \neq (M/2, N/2) \end{cases} \quad (3-105)$$

它使 $F(M/2, N/2)$ 为零，保留其他频率成分不变。为了得到改善后的图像，还必须将 $G(u, v)$ 通过傅里叶逆变换返回到空间域：

$$g(x, y) = \frac{1}{MN} \sum_{u=0}^{M-1} \sum_{v=0}^{N-1} H(u, v)F(u, v)e^{j2\pi(ux/M+vy/N)} \quad (3-106)$$

现在，将频率域图像增强的全过程总结如下：

(1) 对 $f(x, y)$ 进行傅里叶变换得到 $F(u, v)$ ：

$$F(u, v) = \sum_{x=0}^{M-1} \sum_{y=0}^{N-1} f(x, y)e^{-j2\pi(ux/M+vy/N)} \quad (3-107)$$

(2) 选择滤波函数 $H(u, v)$ ，用 $H(u, v)$ 乘以 $F(u, v)$ 得到 $G(u, v)$ ：

$$G(u, v) = H(u, v)F(u, v) \quad (3-108)$$

(3) 将 $G(u, v)$ 进行傅里叶逆变换得到空间域的 $g(x, y)$ ：

$$g(x, y) = \frac{1}{MN} \sum_{u=0}^{M-1} \sum_{v=0}^{N-1} H(u, v) F(u, v) e^{j2\pi(ux/M + vy/N)} \quad (3-109)$$

这就是经频域增强后的图像。

3.6 频率域平滑滤波器

傅里叶变换 $F(u, v)$ 中的高频部分对应图像边缘与灰度尖锐变化如噪声等。平滑滤波器就是通过衰减高频成分来达到图像平滑的目的。这里考虑 4 种滤波器。由于它们的 $H(u, v)$ 都是实函数， $H(u, v)$ 对 $F(u, v)$ 的作用不改变 $F(u, v)$ 的相位。因而它们都是零相移的。

1. 理想低通滤波器

理想低通滤波器的滤波函数为

$$H(u, v) = \begin{cases} 1, & D(u, v) \leq D_0 \\ 0, & D(u, v) > D_0 \end{cases} \quad (3-110)$$

其中 D_0 是指定的一个非负整数，叫作截止频率， $D(u, v)$ 是 (u, v) 点距离频率原点的距离

$$D(u, v) = [u^2 + v^2]^{1/2} \quad (3-111)$$

凡是 $D(u, v)$ 小于截止频率 D_0 的所有频率成分都毫无衰减地通过滤波器，所有其他频率成分完全被滤波器阻止。这种滤波器是无法用电子器件来实现的，只能在计算机上实现。它的一个缺点是在平滑图像的同时出现了明暗相间的振铃现象。实际上，理想低通滤波器没有太大的实用价值。

2. 巴特沃思低通滤波器

n 级巴特沃思低通滤波器的滤波函数为

$$H(u, v) = \frac{1}{1 + [D(u, v)/D_0]^{2n}} \quad (3-112)$$

其中 n 是正整数， D_0 也是一个正整数， $D(u, v)$ 是由式 (3-111) 确定的量。与理想低通滤波器不同，在通过与不通过的频率上没有明显的界限。当 $D(u, v)$ 由 0 增大到 D_0 时， $H(u, v)$ 由 1 下降为 0.5。 $n=1$ 没有振铃现象， $n=2$ 有轻微的振铃现象。 n 值愈大振铃现象愈严重。 $n=20$ 就同理想低通滤波器很接近了。通常取 $n=2$ 。这种低通滤波器的效果比较好。

3. 指数低通滤波器

指数低通滤波器的滤波函数为

$$H(u,v) = e^{-\left[\frac{D(u,v)}{D_0}\right]^n} \quad (3-113)$$

其中 $D(u,v)$ 是由式 (3-111) 确定的量, D_0 与 n 均为正整数。当 $n=2$, $D(u,v)$ 由 0 增大到 D_0 时, $H(u,v)$ 由 1 下降为 $1/\sqrt{2}$ 。指数低通滤波器的效果没有 $n=2$ 的巴特沃思低通滤波器好, 它的优点是没有振铃现象。

4. 梯形低通滤波器

梯形低通滤波器的滤波函数为

$$H(u,v) = \begin{cases} 1, & D(u,v) < D_0 \\ \frac{D_1 - D(u,v)}{D_1 - D_0}, & D_0 \leq D(u,v) \leq D_1 \\ 0, & D(u,v) > D_1 \end{cases} \quad (3-114)$$

其中 $D(u,v)$ 是由式 (3-111) 确定的量, D_0 与 D_1 都是正整数, $D_1 > D_0$ 。梯形低通滤波器的效果尚好, 但有轻微的振铃现象。由于滤波函数 $H(u,v)$ 简单, 计算比较容易, 所以常用。

[示例 3-4] 对人为加入了噪声的图像, 用理想低通滤波器进行处理。

```
I=imread('2-16a.jpg');
I=rgb2gray(I);
K=imnoise(I,'salt & pepper',0.02);           % 在图像 I 中加入椒盐噪声
f=double(K);                                  % 将图像数据类型转换为双精度类型的 f
F=fft2(f);                                    % 对图像 f 进行傅里叶变换
G=fftshift(F);                                % 将变换后的频谱原点移到频谱图的中心
[M,N]=size(F);                                % 测量频谱 F 的大小
d0=25;                                        % 建立理想低通滤波器的滤波函数 H
m0=fix(M/2);n0=fix(N/2);
for i=1:M
for j=1:N
d=sqrt((i-m0)^2+(j-n0)^2);
if d<=d0; H=1; else H=0; end
G(i,j)=H*G(i,j);                             % 对频谱 F 进行滤波运算
end
end
G1=ifftshift(G);                             % 对滤波后的 G 进行傅里叶逆变换
G2=ifft2(G1);
```

```

G3=uint8(real(G2));           % 将傅里叶逆变换后的图像数据类型转换为整数型
subplot(1,2,1),imshow(K);    % 显示原来有噪声的图像
subplot(1,2,2),imshow(G3)   % 显示理想低通滤波后的图像

```

程序运行后，输出图像如图 3-3 所示。



(a) 加入了噪声的图像



(b) 理想低通滤波后的图像

图 3-3 用理想低通滤波器处理有噪声的图像

【示例 3-5】 对人为加入了噪声的图像，用巴特沃思低通滤波器进行处理。

```

I=imread('2-16a.jpg');
I=rgb2gray(I);
K=imnoise(I,'salt & pepper',0.02);
f=double(K);
F=fft2(f);                               % 对图像 f 进行傅里叶变换
G=fftshift(F);
[M,N]=size(F);
n=2;d0=25;                                % 建立巴特沃思低通滤波器的滤波函数 H
m0=fix(M/2);n0=fix(N/2);
for i=1:M
for j=1:N
d=sqrt((i-m0)^2+(j-n0)^2);
H=1/(1+(d/d0)^(2*n));
G(i,j)=H*G(i,j);                         % 对频谱 G 进行滤波运算
end
end
G1=ifftshift(G);                          % 对滤波后的 G 进行傅里叶逆变换

```

```
G2=ifft2(G1);
G3=uint8(real(G2));
subplot(1,2,1),imshow(K);
subplot(1,2,2),imshow(G3)
```

程序运行后，输出图像如图 3-4 所示。



(a) 加入了噪声的图像



(b) 巴特沃思低通滤波后的图像

图 3-4 用巴特沃思低通滤波器处理有噪声的图像

【示例 3-6】 对人为加入了噪声的图像，用指数低通滤波器进行处理。

```
I=imread('2-16a.jpg');
I=rgb2gray(I);
K=imnoise(I,'salt & pepper',0.02);
f=double(K);
F=fft2(f); % 对图像 f 进行傅里叶变换
G=fftshift(F);
[M,N]=size(F);
n=2;d0=25; % 建立指数低通滤波器的滤波函数 H
m0=fix(M/2);n0=fix(N/2);
for i=1:M
for j=1:N
d=sqrt((i-m0)^2+(j-n0)^2);
H=exp(-(d/d0)^n);
G(i,j)=H*G(i,j); % 对频谱 G 进行滤波运算
end
end
```

```

G1=ifftshift(G); % 对滤波后的 G 进行傅里叶逆变换
G2=fft2(G1);
G3=uint8(real(G2));
subplot(1,2,1),imshow(K);
subplot(1,2,2),imshow(G3)

```

程序运行后，输出图像如图 3-5 所示。



(a) 加入了噪声的图像



(b) 指数低通滤波后的图像

图 3-5 用指数低通滤波器处理有噪声的图像

3.7 频率域锐化滤波器

空间图像的傅里叶变换 $F(u,v)$ 中的低频部分对应图像中灰度变化缓慢的部分，频率域高通滤波器就是通过衰减低频成分来达到图像锐化的目的。同低通滤波器一样，主要考虑 4 种类型的高通滤波器。

1. 理想高通滤波器

理想高通滤波器的滤波函数为

$$H(u,v) = \begin{cases} 0, & D(u,v) \leq D_0 \\ 1, & D(u,v) > D_0 \end{cases} \quad (3-115)$$

其中 $D(u,v)$ 是由式 (3-111) 确定的量， D_0 为截止频率。理想高通滤波器将 $D(u,v) \leq D_0$ 的所有频率阻止，让 $D(u,v) > D_0$ 的所有频率毫无衰减地通过。这种滤波器的效果并不理想，存在振铃现象。

2. 巴特沃思高通滤波器

n 级巴特沃思高通滤波器的滤波函数为

$$H(u,v) = \frac{1}{1 + [D_0/D(u,v)]^{2n}} \quad (3-116)$$

其中 n 、 D_0 与 $D(u,v)$ 的定义与前面相同。 $n=2$ 的巴特沃思高通滤波器的效果比理想高通滤波器要好得多，图像更平滑，边缘的失真也小。

3. 指数高通滤波器

指数高通滤波器的滤波函数为

$$H(u,v) = e^{-\left[\frac{D_0}{D(u,v)}\right]^n} \quad (3-117)$$

其中 D_0 与 $D(u,v)$ 的定义与前面相同。它比以上两种滤波器的效果更好，图像更平滑，即使对微小的物体和细节，也能得到比较清晰的结果。

4. 梯形高通滤波器

梯形高通滤波器的滤波函数为

$$H(u,v) = \begin{cases} 0, & D(u,v) < D_0 \\ \frac{D(u,v) - D_0}{D_1 - D_0}, & D_0 \leq D(u,v) \leq D_1 \\ 1, & D(u,v) > D_1 \end{cases} \quad (3-118)$$

其中 $D(u,v)$ 是由式 (3-111) 确定的量， D_0 与 D_1 都是正整数， $D_1 > D_0$ 。梯形高通滤波器有轻微的振铃现象。优点是滤波函数 $H(u,v)$ 简单，计算比较容易。

[示例 3-7] 用巴特沃思高通滤波器处理模糊图像。

```
I=imread('2-24a.jpg');
I=rgb2gray(I);
f=double(I);
F=fft2(f); % 对图像 f 进行傅里叶变换
G=fftshift(F);
[M,N]=size(F);
n=2;d0=25; % 建立巴特沃思高通滤波器的滤波函数 H
m0=fix(M/2);n0=fix(N/2);
for i=1:M
for j=1:N
d=sqrt((i-m0)^2+(j-n0)^2);
H=1/(1+(d0/d)^(2*n))+1.0; % 在滤波函数 H 中加常数 1.0 是为了让图像更清晰
G(i,j)=H*G(i,j);
```

```

end
end
G1=ifftshift(G);           % 对滤波后的 G 进行傅里叶逆变换
G2=ifft2(G1);
G3=uint8(real(G2));
subplot(1,2,1),imshow(I);
subplot(1,2,2),imshow(G3)

```

程序运行后，输出图像如图 3-6 所示。



(a) 一幅模糊图像

(b) 巴特沃思高通滤波后的图像

图 3-6 用巴特沃思高通滤波器处理模糊图像

[示例 3-8] 用指数高通滤波器处理模糊图像。

```

I=imread('2-24a.jpg');
I=rgb2gray(I);
f=double(I);
F=fft2(f);           % 对图像 f 进行傅里叶变换
G=fftshift(F);
[M,N]=size(F);
n=1;d0=5;           % 建立指数高通滤波器的滤波函数 H
m0=fix(M/2); n0=fix(N/2);
for i=1:M
for j=1:N
d=sqrt((i-m0)^2+(j-n0)^2);
H=exp(-(d0/d)^n)+1.0; % 在滤波函数 H 中加常数 1.0 是为了让图像更清晰
G(i,j)=H*G(i,j);

```

```
end
end
G1=ifftshift(G);           % 对滤波后的 G 进行傅里叶逆变换
G2=ifft2(G1);
G3=uint8(real(G2));
subplot(1,2,1),imshow(I);
subplot(1,2,2),imshow(G3)
```

程序运行后，输出图像如图 3-7 所示。



(a) 一幅模糊图像

(b) 指数高通滤波后的图像

图 3-7 用指数高通滤波器处理模糊图像